

I-50 コンクリート充填ボックス鋼床版の実験的研究

大阪大学工学部

正員

前田幸雄

道路公団本四調査事務所長

正員

相良次

大阪大学大学院

学生員

○松井繁之

1 まえがき

従来用いられてきた道路橋床版には、鉄筋コンクリート床版・鋼床版が大勢を占めるが、いずれも耐久性・耐震安定性を考慮すれば、長大吊橋の床版として一長一短があり、剛性が大きめで、耐久性のある新しいタイプの床版の開発が望まれていた。また、長大橋においては、部材のプレハブ化による利点は見逃せなく、床版もプレハブ化に適したものといえよう。そこで筆者らは、上述の問題をある程度解決し得るとして、鋼箱桁の内部にコンクリートを充填して、鋼・コンクリートの協働作用を期待し得る“コンクリート充填ボックス鋼床版”を考案した。そして、この床版の挙動特性・最終耐荷力等を研究するため、静的載荷試験を行った。その結果、他床版と比較して有利なものであることを確認した。ここにその結果を述べる。

2 試験体及び試験方法

試験体寸法は図-1に示す通りである。供試体は、ウェブ間隔・スタッズ・ジベル間隔等がセン断されず、破壊荷重・コンクリートと鋼表板との合成作用に与える影響を研究するため、表-1の如く3種類に大別して比較検討を試みた。載荷方法は2辺単純支持で、 $10 \times 10 \text{ cm}$ の帶状載荷とした梁型式として考めたものである。測定は、ダイアルゲージを用いて $1/2$ 点、 $1/4$ 点のタワミ、両端部の鋼とコンクリート間のズレを、電気抵抗線ひずみゲージを用いて、鋼表板とウェブ諸要点の応力を測定した。

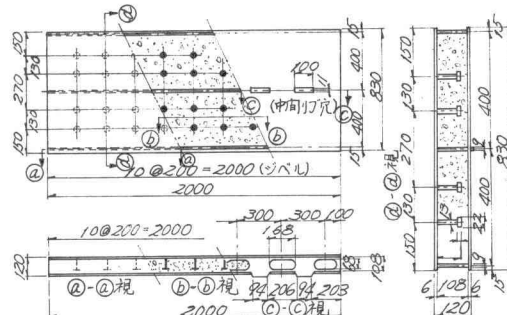


図-1 コンクリート充填ボックス鋼床版(A-2)

供試体	ウェブ	スタッズ・ジベル			標準横断面形	員数
		圧縮フランジ	引張フランジ	総本数		
A 系 列	A ₁ 3枚	一	一	一	□□□	2体
	A ₂ "	4行5列	一	20	□□□□□	* 2
	A ₃ "	4行9列	一	36	□□□□□□□□	* 2
	A ₄ "	8行9列	一	72	□□□□□□□□□	* 2
B 系 列	B ₁ 2枚	1行8列	一	9	□□□□□□□	** 2
	B ₂ "	1行8列	1行9列	19	□□□□□□□□□	** 2
	B ₃ "	5行9列	一	45	□□□□□□□□□	** 2
	B ₄ "	5行9列	1行9列	55	□□□□□□□□□	** 2
C ₁	"	一	一	一	□□□□□□□□□	** 2
						$\Sigma 18$ 体

* 2体の内1体について圧縮側フランジ内側に油を塗り意識的に附着を切った。

** 2体の内1体について鋼板の弹性域まで偏心載荷を行った。

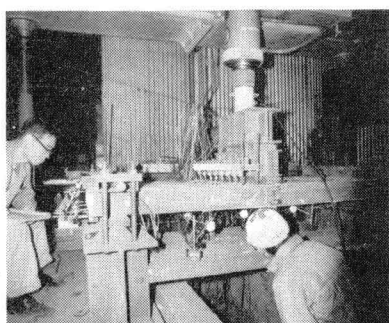


写真-1 載荷状況

表-1 供試体の分類

3 実験結果と考察

実験結果の概略を荷重段階ごとに表-2に示す。又、図-2から図-5に荷重と、歪み、タワミ、ズレの測定結果を示す。これらの結果から、本床版は鋼とコンクリートとの合成構造で説明できると言える。この充填コンクリートと鋼表板の合成作用は、静的荷重では両者の接触面積が大きいことから、マサツの効果の上で発揮されている。油を塗付した供試体の場合においても圧縮側スタッドジベルの効果は明瞭でない。しかし、圧縮引張の両側に打ちれたスタッドジベルは、ズレ・剪断すべりの減少、及び、最終耐荷力の向上に効果を期待できることがわかつ。図-2から3明らかなように梁としての理論値と実験値とは相当の差があることは、コンクリートのひびわれ発生後、ウェブにより鋼表板にセン断溝の現象が発生したためであり、次に述べる有効中を考慮すれば、鋼表板とコンクリートとの合成断面で説明出来ることが理解される。

荷重	表-2 実験体の静的挙動概況
0~12トン	6.8トン迄コンクリートにひび割れ発生せず全断面有効。B系列では8トン迄大きな音を発生し、同時に荷重が0.5~1トン位低下し全断面有効の限界値を明瞭に示すが、A系列では、10~12トン迄まで持続するものであった。
12~24トン (B系列)	鉄筋コンクリート合成断面の断面性能が発揮されると考えられる。C系列にひび割れが発生すると鋼表板にセン断すべりによる歪み乱れが現われた。これはウェブ側3枚のA系列よりも2枚のB・C系列の方が顕著であった。
24~40トン (B系列) 6~48トン (A系列)	せん断すべりのためA系列で24トン迄、B系列で36ト迄剛性の大きなウェブの弱い部材で降伏応力に達し、タフさが急激に増加した。
40~破壊 (B系列) 6~破壊 (A系列)	B系列で40ト迄、A系列で46~48ト迄が荷重-歪曲形状が極めて悪くなり支間中央の測定点では、すべて降伏応力に達し全塑性状態に入った。さらに荷重を増加すると表面の黒皮が支間中央付近の端より引抜き現れ、Yield lineがよく観察された。
破壊荷重	鉄筋面降伏し、最大荷重に達すると圧縮側表板が不安定現象を呈して破壊した。

図-2 荷重-歪 図

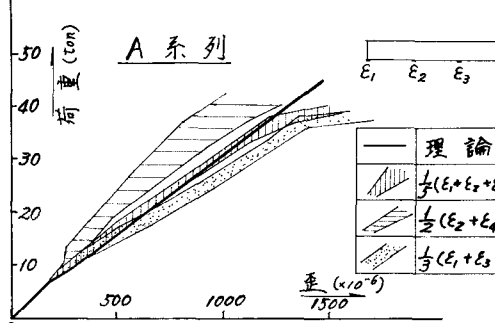


図-3 荷重-歪 図

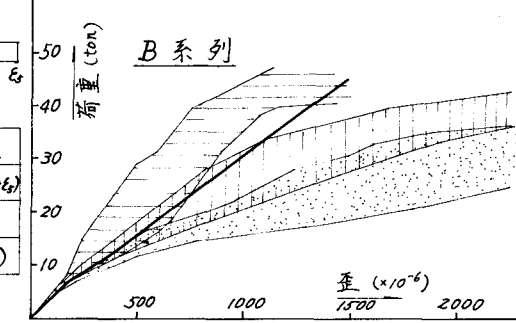


図-4 荷重-タワミ 図

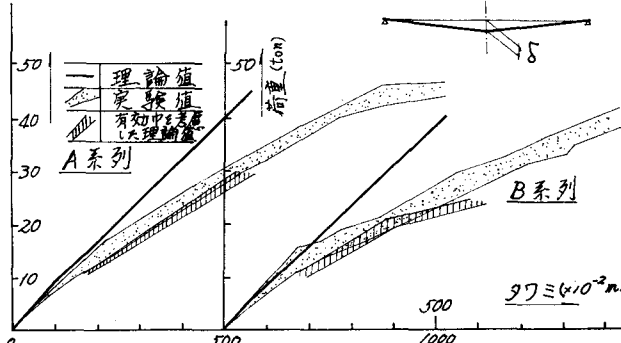
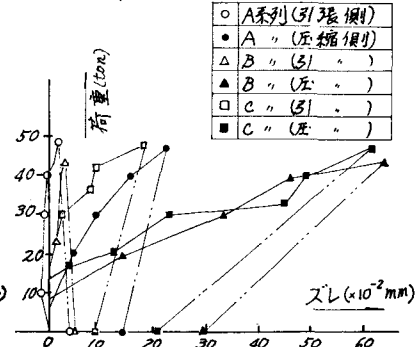


図-5 荷重-ズレ 図



有効中 充填コンクリートにひびわれが入った後で、鋼表板上に剪断すべれが生じた。タフミの実測値は全中有効とした理論値とは一致しない。そのため、上下表板の歪割定値から幅員方向の応力分布を放物線状と仮定して最小自乗法で応力分布の実験曲線を求め、ウェブに対する表板の有効中：入を $\lambda = \int_0^L \alpha dy / \alpha_{max}$ の定義の下に求め、各試験体ごとの最小値を表-3に示す。この表よりスタッドジベルの効果は同一系列内では明確には表われないが、B系列の方がC系列より若干大きな値となっている。又、コンクリートモリブドに換算した値より実験値の方が大きくなることは充填コンクリートのもつ特別の効果であろう。又、本実験は鋼床版とコンクリートとの合成構造であるため、有効中も合成材の規準（DIN-1078）にはば等しくなる。コンクリート梁とするならば、安全側で、鋼床版として考えると逆に危険側である。

最終耐荷力 最終耐荷力に寄する実験値と、最大モーメント位置に於て塑性ヒンジが形成されるという仮定の下に計算した理論値を表-4に示す。

A系列での実験値と理論値の20%近い 表-3 有効中について

相違は、A系列の最終耐荷時に於けるタフミが10cm以上にもなるため、中央10cmの載荷板内では、それは半分布荷重として作用せず、載荷板の端で2点集中荷重になってしまい、床版層による荷重分配と若しくてると支間中央より約10cm付近で最大モーメントに達し、この位置で塑性ヒンジが形成されるためである。この差方はA系列とB系列のYield lineの発生状況を比較した場合、A系列では、幅員方向のYield lineが斜め、この位置まで発生していることより、妥当性を得ていると思われる。表中の修正値は、このことを考慮した値である。また破壊時には、どの供試体とも、上側鋼表板が不安定現象を呈する。これは、充填コンクリートが圧潰し、それによって鋼表板に上揚力が作用したためであると考えられる。

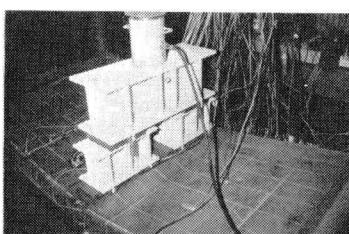


写真-2 破壊状況

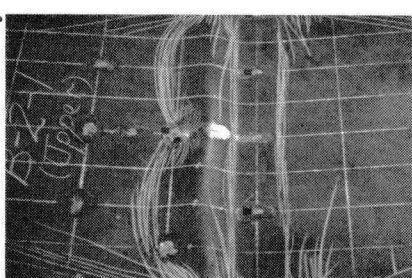


写真-3 上側表板の不安定現象

種別	λ/B		備考	載荷状態
	A系列	B系列		
実験値 (λ_{min})	0.74	0.59	ZB 入 入	鋼箱形につけての測定結果で上下フランジの差が小さいので両者の平均を記載する。 左縦側コンクリートに換算（n=7.0） 鋼箱形のみの場合 (46条、表-5)
	0.77	0.74		
	0.69	0.60		
	0.79	0.60		
	0.77	0.59		
	0.85	0.70		
	0.81	0.70		
	0.81	0.66		
		0.59		
		0.59		
0.78(平均) 0.64(平均)				
鋼床版 とする場合	0.64	0.46	左縦側コンクリートに換算（n=7.0） 鋼箱形のみの場合 (46条、表-5)	
	0.73	0.55		
滑床鋼道路 橋示方書	0.91	0.72		
DIN. 1078	0.88	0.62		

供試体	理論値	実験値
A-1-1	52.9 (60.0)	62.5
A-1-2	53.3 (58.3)	64.0
A-2-1	54.6 (59.3)	60.5
A-2-2	55.0 (58.9)	59.0
A-3-1	54.7 (59.4)	63.5
A-3-2	54.7 (60.2)	64.5
A-4-1	54.4 (66.6)	70.0
A-4-2	54.4 (59.1)	63.0
B-1-1	52.9	54.0
B-1-2	52.5	55.0
B-2-1	50.0	55.0
B-2-2	49.7	53.6
B-3-1	50.0	52.0
B-3-2	50.2	53.7
B-4-1	51.5	55.8
B-4-2	50.0	53.2
C-1-1	53.5	55.0
C-1-2	53.5	51.0

() 内は修正値

表-4 破壊荷重

他型式床版との比較 比較対照のため、現在一般に用いられている床版として (1)ロビンソン型床版(床版厚12cm) (2)Open格子床版(床版厚15cm) (3)Solid格子床版(床版厚12.4cm) (4)R.C床版(床版厚16~30cm)を選んだ。各床版の概要は表-5に示した。

重量：床版重量および鋼重は表-5に示す。床版重量に関しては、一床床版厚に比例するものと考えてよく、同じ厚さの他床版とほぼ同じ重量である。しかし、R.C床版と比較すれば非常に軽量となる。ところが、鋼重に関しては上下表板に鋼板を用いるために非常に大きくなる欠点がある。

しかし、連続板として適用する場合、何等難しい考慮が必要でないことをより相殺されると思われる。

破壊荷重：全床版の破壊型式を、載荷点下で塑性ヒンジが形成される仮定すると破壊荷重は図-6の様になる。本実験床版は、この図で明らかなように、他型式床版の2~3倍の耐荷力を有することになる。一般の一等橋に用いられているR.C床版($D=16\text{cm}$)と比較すると5~6倍にも達する。

又、R.C床版にみられるような危険なPunching-shearによる破壊も非常に起り難いと考えられる。

応力変化・タワミ変化：図-8は上記各床版の荷重と応力の変化図である。コンクリート充填ボックス鋼床版の理論値はセメントの影響を無視したので応力増加度は小さい。しかし、実際にはセメントの影響を考慮した場合の影響を考慮した換算断面二次モーメント(換算)の実験を示した。

コンクリート充填ボックス鋼床版の実験値はセメントの影響を考慮した換算断面二次モーメントである。断面減りの激しいB系列でも普通のR.C床版よりも大きく、これほどとくらうずタワミ量が小さいことになる。格子床版に比べても優れている。ただセメントのないロビンソン床版よりもタワミ・応力が大きい。しかし、A系列に関しては、どの型式よりも優れた床版と言える。

表-5 各種床版重量

記号	断面形状	重量 (kg/m)	鋼重 (kg/m)
○		370	120
●		360	116
X	10cm	342	74
△	15cm	107	107
■	20cm	351	60
—	12.10cm	216	40
		~725	

